

## ФОТОГРАФИИ

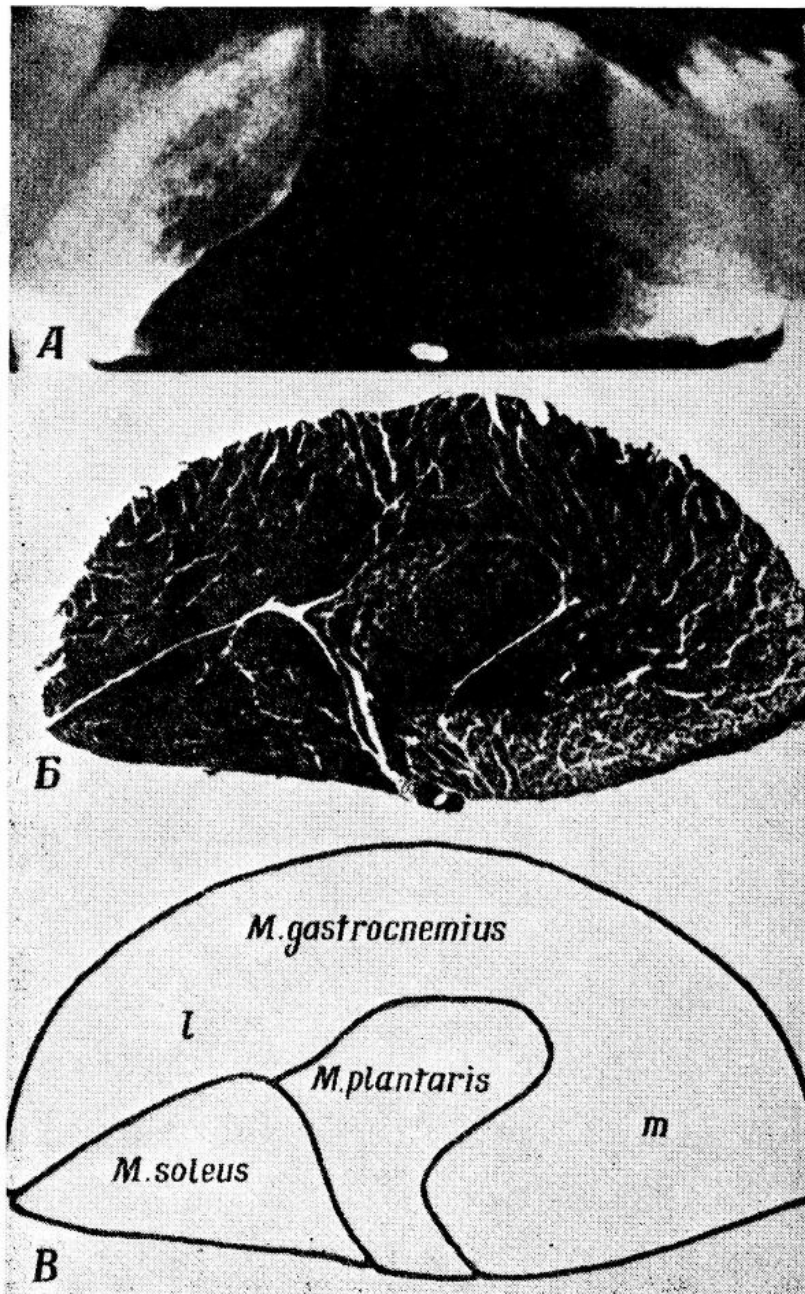


Фото I. Мышцы голени крысы [843].

А. Поверхность разреза блока, находящегося в спирту при  $-70^{\circ}\text{C}$ . Видны различия в степени окраски (красной) у разных мышц и у различных частей одной и той же мышцы. Некоторые из более глубоких частей *m. plantaris* и обеих головок *m. gastrocnemius*, расположенных ближе к апоневрозам у мест прикрепления, окрашены более интенсивно, чем *m. soleus*. Б. Поперечный срез с поверхности блока, изображенного на фиг. 1, А, инкубированный с реактивом для выявления цитохромоксидазы. Видно хорошее соответствие между распределением волокон с высокой активностью цитохромоксидазы на срезе и распределением красной окраски на поверхности блока. В. Схема расположения мышц на поверхности блока; *l* и *m* — латеральная и медиальная головки *m. gastrocnemius* соответственно.

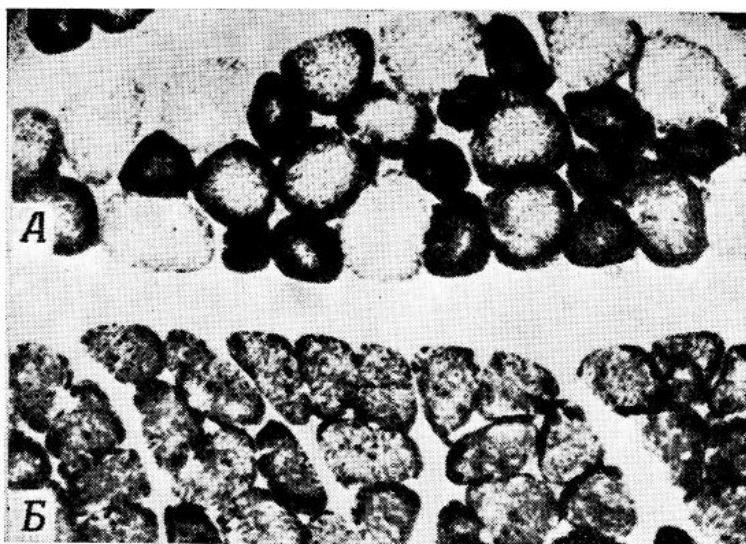


Фото II. Мышечные волокна в латеральной головке *m. gastrocnemius* (A) и *m. soleus* (B) крысы [843].

Срез, инкубированный для выявления сукцинатдегидрогеназы. В *m. gastrocnemius* видны волокна как с более высокой, так и с более низкой активностью фермента, чем в *m. soleus*.

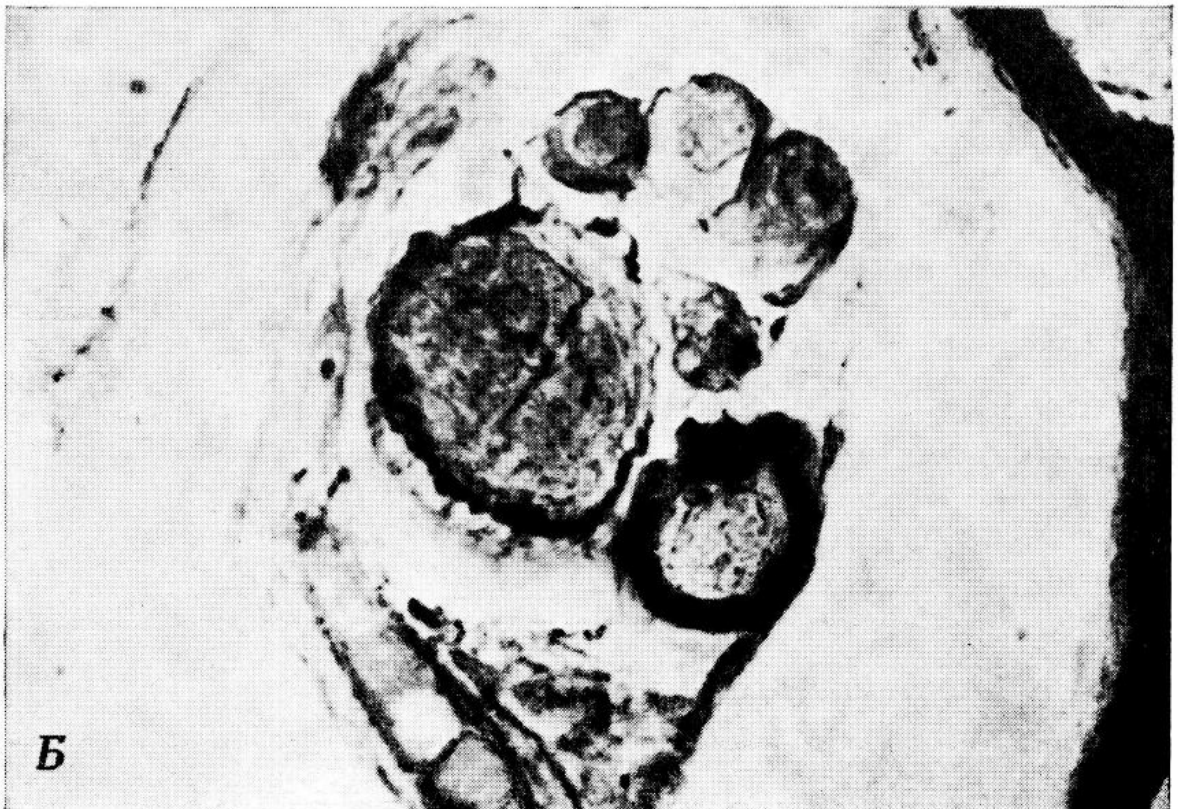
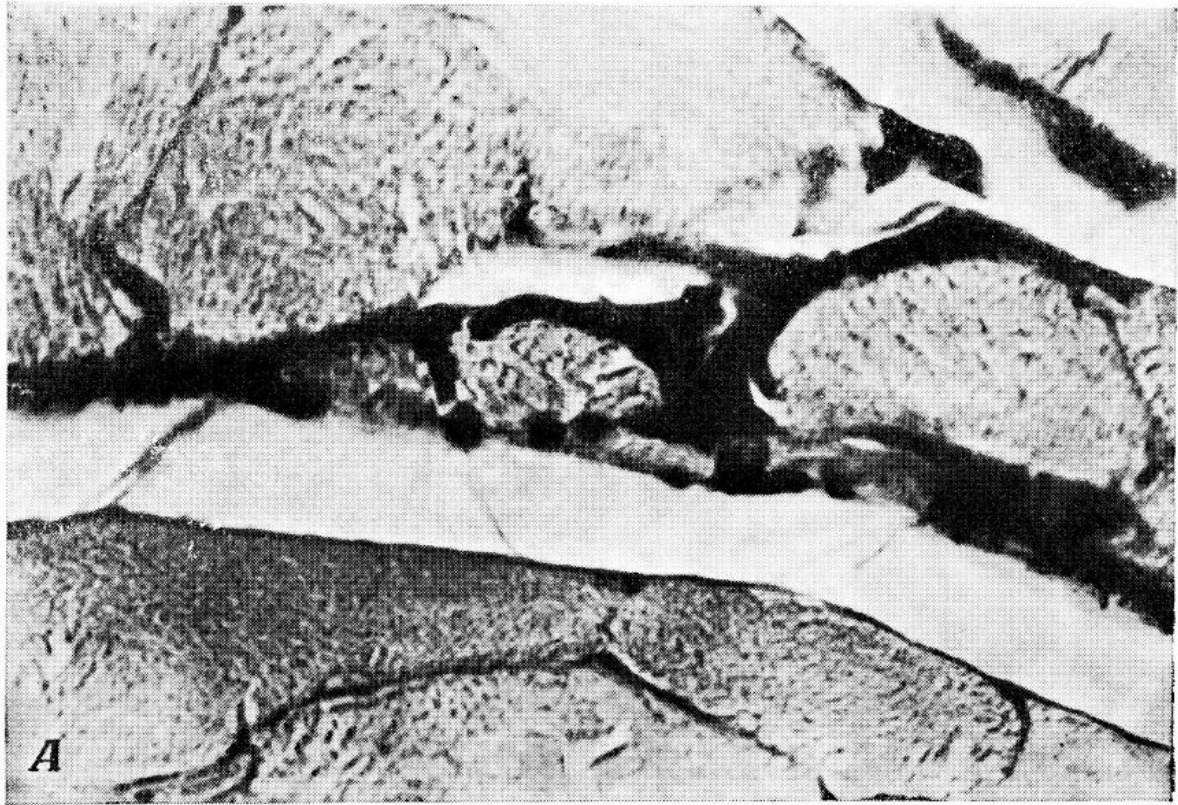
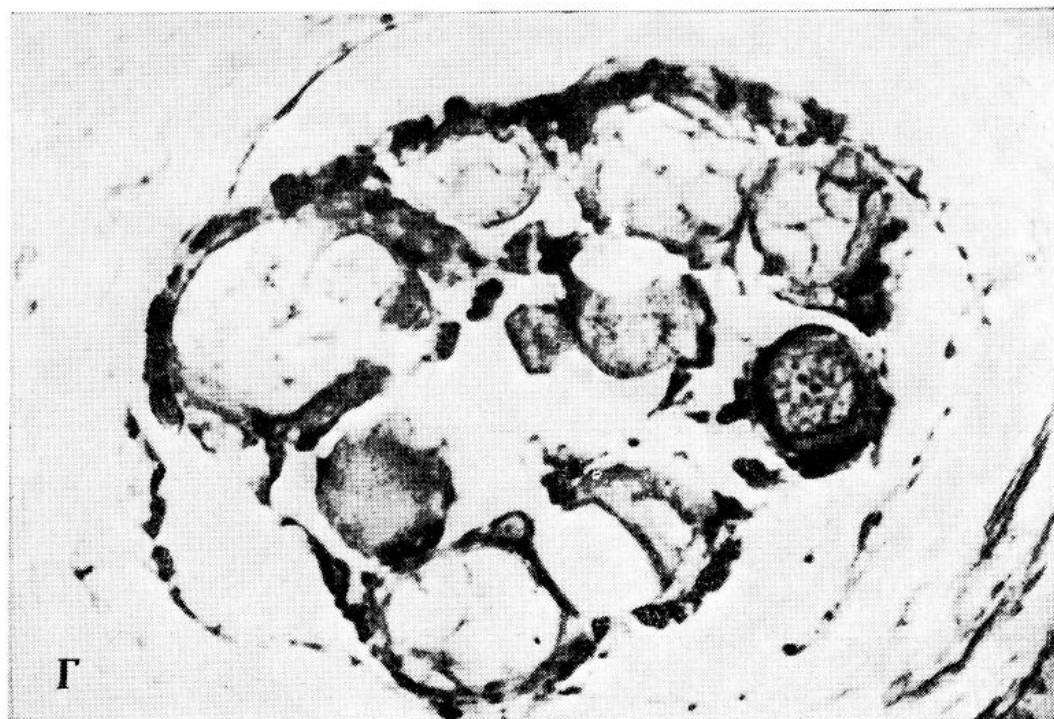
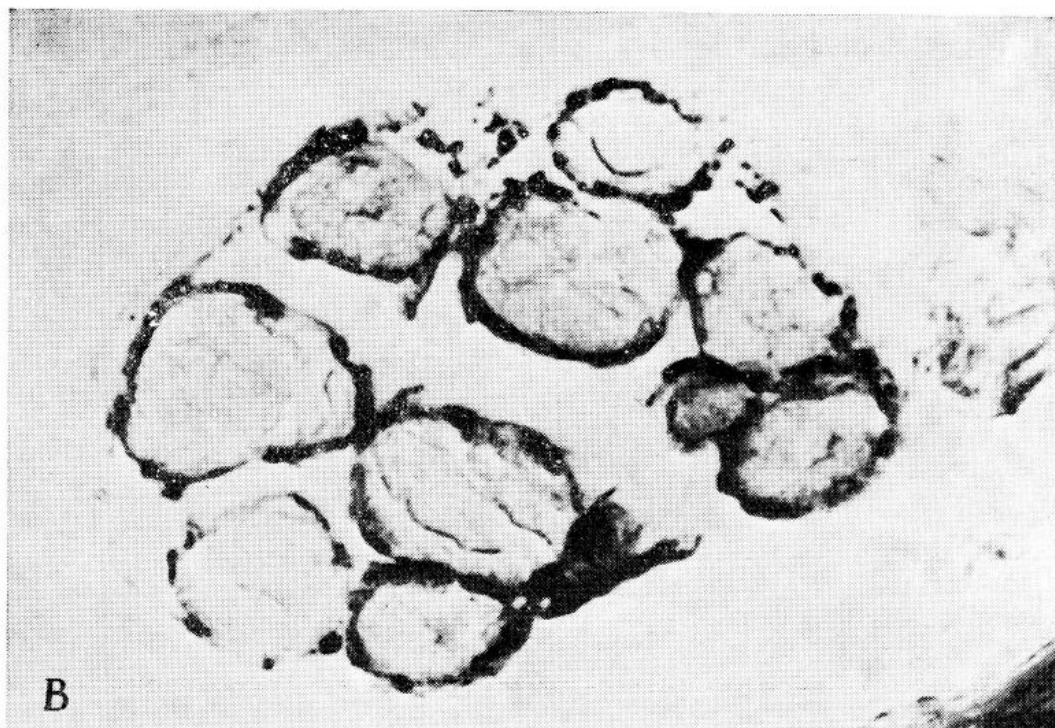


Фото III. Эластическая ткань (темноокрашенные участки) на срезах веретена из *m. lumbricalis* человека (фото С. Купер).

А — на интрафузальных волокнах за пределами капсулы и на капилляре; Б — на ЯС-волокнах у границы экваториальной области; В — на всех волокнах у границы экваториальной области (в небольшом количестве); Г — у поверхности экваториальной области (разбросанные пучки) и на ЯС-волокнах (в небольшом количестве).



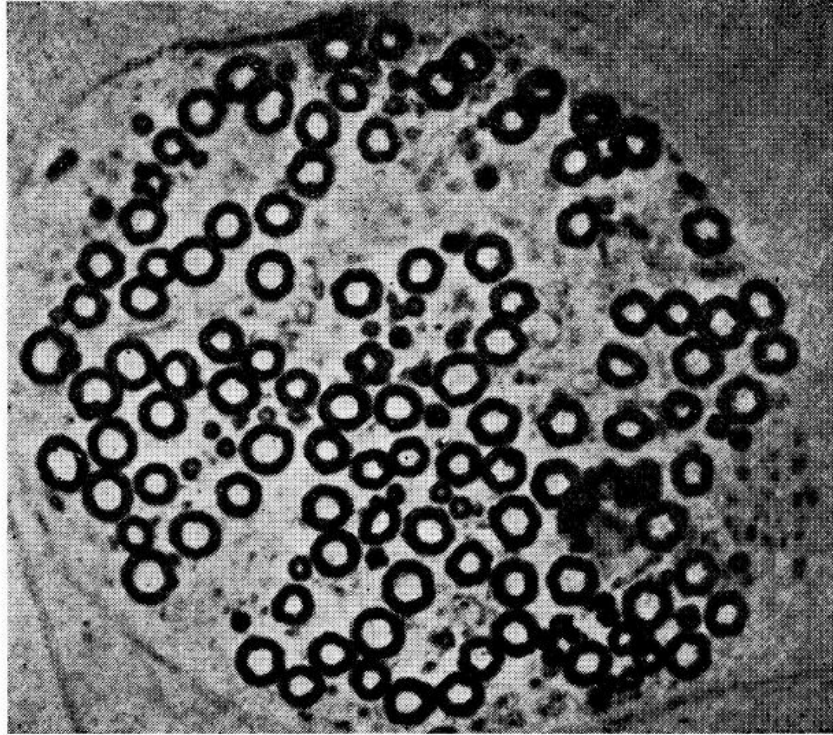


Фото IV. Поперечный срез ветви деафферентированного двигательного нерва, идущей к латеральной головке *m. gastrocnemius* кошки [300].  
Можно видеть характерное различие между толстыми альфа-волокнами и тонкими гамма-волокнами.

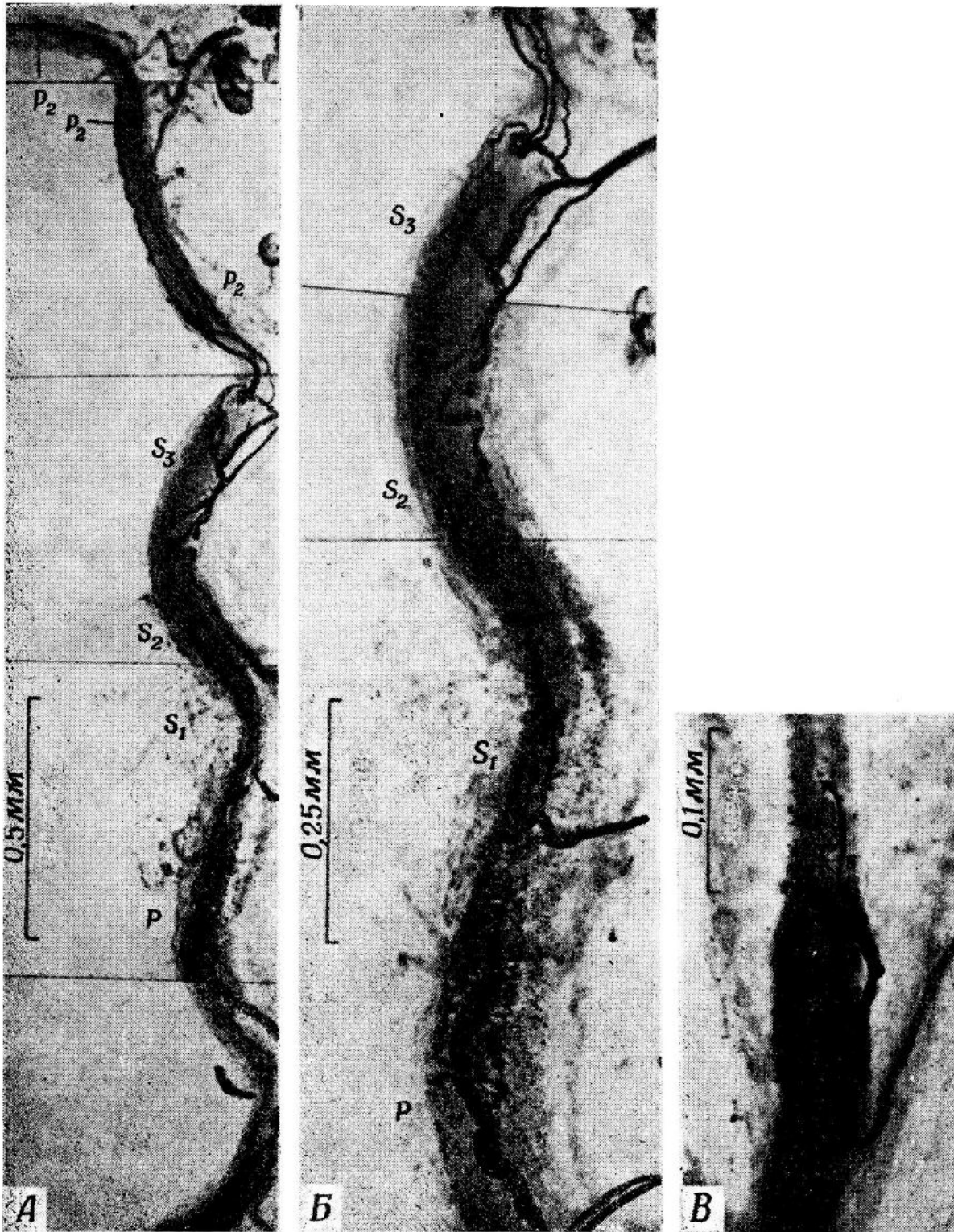


Фото V. Мышечные веретена кошки [62].

А. Веретено с одним первичным и тремя вторичными окончаниями из нормальной мышцы (*m. tenuissimus*). Следует отметить четкость картины двигательной иннервации на этом препарате, импрегнированном серебром. Б. Область сенсорной иннервации того же веретена в увеличенном виде. Вторичные окончания расположены главным образом на ЯЦ-волокнах (которые проходят в левой стороне веретена) и лишь в незначительной части — на ЯС-волокнах. В — вторичные гроздевидные окончания в деэферентированном веретене *m. reponaeus*. P — первичное окончание:  $p_2$  — двигательные концевые пластинки;  $S_1$ ,  $S_2$ ,  $S_3$  — вторичные окончания.

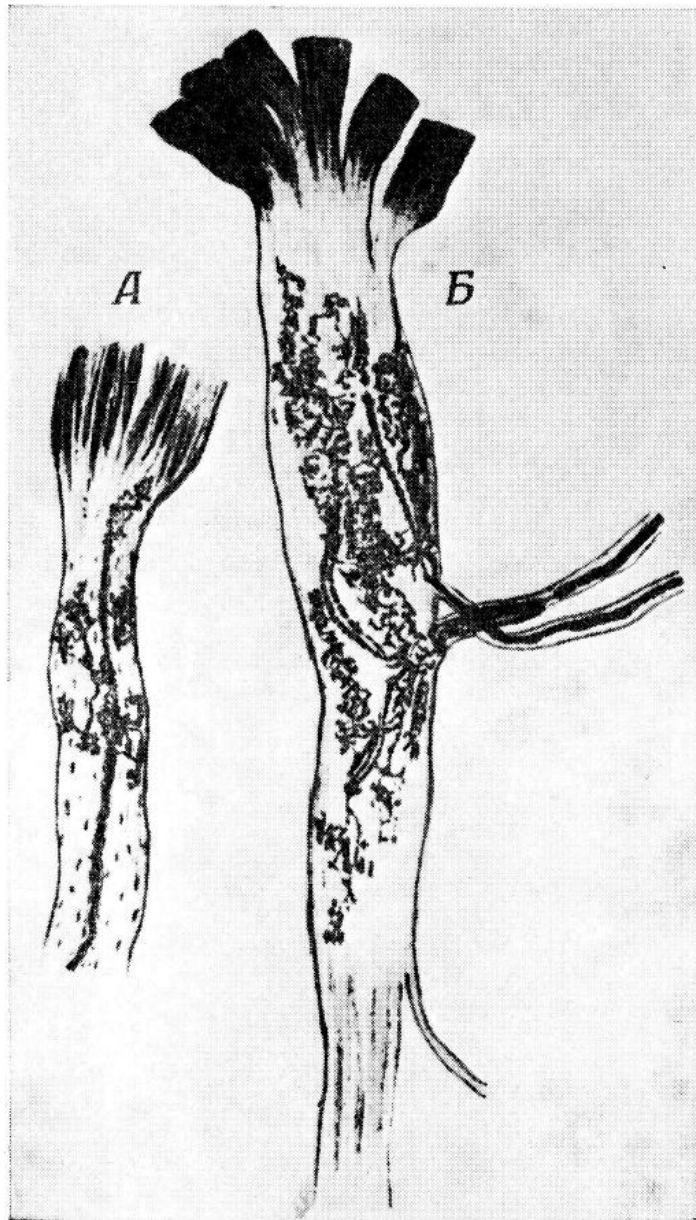


Фото VI. Рецепторные органы Гольджи [180].

А — из ахиллова сухожилия крысы ( $\times 98$ ), Б — из ахиллова сухожилия человека ( $\times 147$ ).